

УДК 621.38:539.1

ОБРАЗОВАНИЕ РАДИАЦИОННЫХ ДЕФЕКТОВ В ШИРОКОЗОННЫХ ПОЛУПРОВОДНИКАХ НА ОСНОВЕ ГАЛЛИЯ (Ga_2O_3 , GaN) ПРИ ТОРМОЖЕНИИ ПРОТОНОВ

© 2023 г. В. В. Козловский^a, *, А. Э. Васильев^a, **, А. А. Лебедев^b, ***, Е. Е. Журкин^a, ****, М. Е. Левинштейн^b, *****, А. М. Стрельчук^b, *****

^aСанкт-Петербургский политехнический университет Петра Великого,
Санкт-Петербург, 195251 Россия

^bФизико-технический институт им. А. Ф. Иоффе РАН,
Санкт-Петербург, 194021 Россия

*e-mail: kozlovski@physics.spbstu.ru

**e-mail: electronych@mail.ru

***e-mail: shura.lebe@mail.ioffe.ru

****e-mail: ezhurkin@phmf.spbstu.ru

*****e-mail: melev@nimis.ioffe.ru

*****e-mail: anatoly.strelchuk@mail.ioffe.ru

Поступила в редакцию 25.04.2023 г.

После доработки 29.06.2023 г.

Принята к публикации 29.06.2023 г.

С помощью математического моделирования каскада смещений в двух широкозонных полупроводниках на основе галлия – оксиде галлия (Ga_2O_3) и нитриде галлия (GaN) – рассмотрены особенности генерации пар Френкеля при рассеянии протонов с энергией 8 и 15 МэВ. Впервые рассчитано количество смещений, создаваемых не только первично выбытыми атомами, но и атомами отдачи, генерируемыми в каскадах смещений. Расчеты показали, что при протонном облучении, например, Ga_2O_3 , доля вакансий в подрешетке кислорода, созданных непосредственно протонами, составляет всего 12%. Остальные 88% создаются атомами отдачи в каскадных процессах. Для подрешетки галлия эти цифры составляют 25 и 75% соответственно. Поэтому процессы компенсации проводимости GaN и Ga_2O_3 , наблюдаемые при протонном облучении, будут определяться глубокими центрами, созданными не первично выбытыми атомами, а атомами отдачи, образовавшимися в каскадах смещений. Проведено сравнение с экспериментальными данными, и оценена доля пар Френкеля, диссоциирующих в процессе облучения.

Ключевые слова: протонное облучение, оксид галлия, нитрид галлия, радиационные дефекты, численное моделирование, каскадные процессы, пара Френкеля.

DOI: 10.31857/S1028096023120099, **EDN:** BHSYBZ

ВВЕДЕНИЕ

Эффективность процесса вторичного радиационного дефектообразования в полупроводниках определяется прежде всего тем, насколько полно происходит диссоциация первично созданных радиационных дефектов – пар Френкеля – вакансия–межузельный атом. На устойчивость генетически родственной пары Френкеля сильно влияет зарядовое состояние ее компонент [1–4]. Таким образом, процесс диссоциации пар Френкеля определяется в основном двумя факторами: их распределением по расстоянию между компонентами и наличием электронов и дырок, обуславливающих перезарядку компонент. Атомы отдачи, а, следовательно, и пары Френкеля, могут

образовываться либо при взаимодействии с протонами (так называемые первично выбытые атомы), либо в каскадных процессах при взаимодействии первично выбытых атомов большой энергии с атомами решетки (так называемые вторично выбытые атомы). Ранее в [5, 6] было изучено образование радиационных дефектов при торможении протонов с энергией порядка МэВ в наиболее изученном к настоящему времени широкозонном полупроводнике – карбиде кремния SiC . В [5] было аналитически изучено только образование первично выбытых атомов при взаимодействии с протонами с энергией 8 и 15 МэВ и оценены так называемые коэффициенты размножения. В [6] решена более сложная задача – впервые

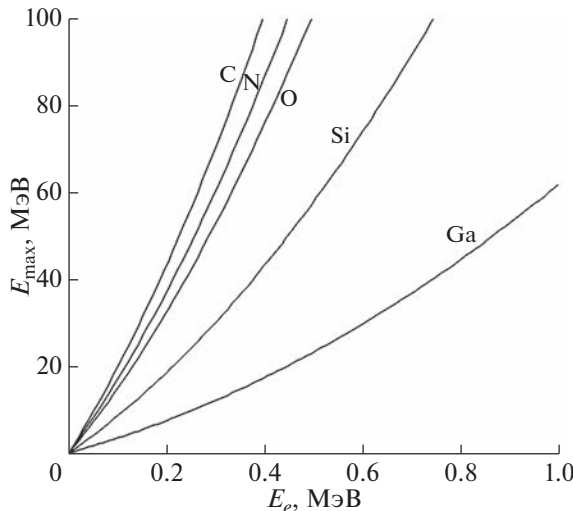


Рис. 1. Зависимость максимальной энергии E_{\max} , переданной атому решетки основных широкозонных полупроводников, от энергии бомбардирующего электрона E_e .

численно рассчитано образование дефектов в каскадных процессах при протонном облучении SiC. Целью настоящей работы было проведение аналогичных исследований двух интенсивно развивающихся в настоящее время широкозонных полупроводников на основе галлия — оксида галлия (Ga_2O_3) и нитрида галлия (GaN).

МЕТОДИКА ЭКСПЕРИМЕНТА

Для численного моделирования торможения протонов в SiC использовали пакет программ Stopping and Range of Ions in Matter (SRIM) [7], основанный на теоретических моделях, описанных в [8]. Расчет проводили в режиме Full Cascade.

Ключевой параметр, необходимый для проведения расчетов, — пороговая энергия смещения атома из узла решетки (подрешетки) (E_d). Для новых галлиевых широкозонных полупроводников получение достоверных значений параметра E_d представляет особую проблему. Остановимся на этом вопросе подробнее. Наиболее точным методом определения пороговой энергии дефектообразования E_d в подрешетках полупроводников является исследование зависимостей параметров облученного полупроводника от энергии бомбардирующих электронов. Как известно, атому решетки массой M (массовое число A) при упругом взаимодействии с релятивистским электроном с энергией E_e и массой m может быть передана энергия E , значение которой лежит в пределах от нуля до максимальной:

$$\begin{aligned} E_{\max} &= 2E_e(E_e + 2m_ec^2)/Mc^2 = \\ &= E_e(E_e + 1.022)/(469A) \text{ [МэВ].} \end{aligned} \quad (1)$$

При E_{\max} , равной пороговой энергии образования дефекта E_d , формула (1) определяет граничную энергию электрона $E_{\text{гран}}$, выше которой начинают генерироваться первичные точечные дефекты вакансия–межузельный атом (пара Френкеля). На рис. 1 представлена полученная по формуле (1) зависимость для пяти химических элементов, образующих три основных широкозонных полупроводника — SiC, GaN, Ga_2O_3 .

К настоящему времени достоверная работа по определению E_d выполнена только для карбида кремния. В [9, 10] было показано, что при облучении карбида кремния минимальные значения граничной энергии электронов, при которых наблюдается образование радиационных дефектов, в подрешетке атомов кремния составляют ~250 кэВ, а в подрешетке атомов углерода ~90 кэВ. Пороговая энергия образования радиационных дефектов в карбиде кремния, определенная по формуле (1), составляет для подрешетки кремния ~24 эВ, для подрешетки углерода ~18 эВ. Отдельно отметим, что для карбида кремния достоверно установлено, что за изменение электрофизических свойств при облучении ответственны радиационные дефекты, образующиеся только в подрешетке атомов углерода [1, 11].

Для галлиевых бинарных полупроводников энергетические пороги определены с достаточной точностью только в случае арсенида галлия, строго говоря, не относящегося к широкозонным полупроводникам в силу сравнительно небольшой ширины запрещенной зоны (1.45 эВ). По данным [12, 13] энергетические пороги в GaAs составляют ~9.8 эВ в обеих подрешетках. Тщательное изучение природы радиационных дефектов, образующихся в GaAs, в частности при протонном облучении, позволило установить, что изменение свойств связано с радиационными дефектами в подрешетке мышьяка [1, 12]. Генетически родственные дефекты в подрешетке галлия активно рекомбинируют уже при комнатной температуре.

Долгое время пороговое значение энергии порядка 10 эВ считали приемлемым для галлиевой подрешетки и в двух новых материалах — оксиде и нитриде галлия. Как видно из рис. 1, граничная энергия электронов, при которой атому галлия передается энергия ~10 эВ, составляет ~250 кэВ. Однако в диапазоне энергии бомбардирующих электронов 200–400 кэВ в нитриде галлия влияние облучение на свойства материала не было зарегистрировано [1]. В [14] на основе экспериментальных данных была сделана новая оценка порога: $E_d(\text{Ga}) = 20.5$ эВ. В этом случае граничная энергия электронов по формуле (1) составляет 450 кэВ. Позже в [15] уточнили граничную энер-

Таблица 1. Количество смещений, созданных в пленке $\alpha\text{-Ga}_2\text{O}_3$ ($\rho = 6.44 \text{ г/см}^3$, $E_d(\text{Ga}) = 25 \text{ эВ}$; $E_d(\text{O}) = 28 \text{ эВ}$) толщиной 50 мкм в первичных и вторичных столкновениях, в расчете на один протон

E_p , МэВ	Подрешетка	Вакансии, созданные протоном при образовании первично выбитых атомов	Вакансии, образованные в каскаде первично выбитых атомов	Сумма вакансий в подрешетках
8	Ga	0.88	2.75	3.63
	O	0.35	2.78	3.13
15	Ga	0.45	1.35	1.80
	O	0.18	1.35	1.53

Таблица 2. Количество смещений, созданных в пленке GaN ($\rho = 6.1 \text{ г/см}^3$, $E_d(\text{Ga}) = 20.5 \text{ эВ}$, $E_d(\text{N}) = 10.8 \text{ эВ}$) толщиной 50 мкм в первичных и вторичных столкновениях, в расчете на один протон

E_p , МэВ	Подрешетка	Вакансии, созданные протоном при образовании первично выбитых атомов	Вакансии, образованные в каскаде первично выбитых атомов	Сумма вакансий в подрешетках
8	Ga	1.12	4.17	5.29
	N	0.57	6.62	7.19
15	Ga	0.57	2.25	2.82
	N	0.28	6.44	6.72

гию электронов, при которой в нитриде галлия изменяется фотолюминесценция, – 440 кэВ. Это соответствует порогу ~19 эВ. Значительно сложнее со значением пороговой энергии в подрешетке азота. В [14] приводится значение 10.8 эВ. Это соответствует граничной энергии электронов (согласно (1)) всего 65 кэВ. В [15] такая граничная энергия не была обнаружена. Авторы [15] предположили, что генетически родственные дефекты в подрешетке азота активно рекомбинируют уже при комнатной температуре.

В [16], указывая на недостатки методики, использованной в [15], предположили, что порог будет выше раза в полтора. Здесь же приведем теоретические оценки для GaN, выполненные в [17] методом молекулярной динамики, – 45 эВ для атома галлия и 100 эВ для атома азота. Как и ожидалось, наиболее тяжелая ситуация с определением энергетических порогов сложилась для самого “молодого” широкозонного полупроводника – оксида галлия. Прямые эксперименты по определению E_d еще не проводились. В расчетах используют теоретические оценки 25 (Ga) и 28 эВ (O), сделанные в [18–20].

РЕЗУЛЬТАТЫ И ИХ ОБСУЖДЕНИЕ

В табл. 1–3 приведены результаты численного моделирования количества вакансий в подрешетках широкозонного полупроводника на основе галлия (GaN, Ga_2O_3) и для сравнения в SiC, а также полного числа вакансий в расчете на падающий на пленку протон. В третьих графах табл. 1–3

приведены результаты столкновений протонов с атомами обеих подрешеток изучаемых бинарных широкозонных полупроводников. Следующие графы отражают количество вакансий, созданных в подрешетках атомами отдачи. Например, атомы галлия в оксиде галлия могут выбиваться из узлов атомами отдачи любой природы (в равной степени и галлия, и кислорода). В пятых колонках представлено общее количество вакансий, образующихся в пленке толщиной 50 мкм. Укажем, что анализ проводился при статистике 100 тысяч упавших на пленку протонов.

Проведем анализ результатов численного расчета, представленных в табл. 1–3, и сравним с аналитическими выражениями. Для аналитического выражения используем классическую формулу резерфордовского рассеяния, описывающую сечение получения атомом отдачи с атомным номером A и зарядовым числом Z энергии больше E_d при взаимодействии с протоном с энергией E_p :

$$\sigma_d = (1/4\pi\epsilon_0)^2 \pi (Z^2 e^4 m_p / ME_p E_d) = \\ = 2.6 \times 10^{11} Z^2 / (4AE_p[\text{эВ}]E_d[\text{эВ}]) [\text{барн}]. \quad (2)$$

Данные табл. 1 позволяют сделать несколько выводов: с уменьшением энергии протонов примерно в два раза (от 15 до 8 МэВ) в согласии с законом резерфордовского рассеяния (формула (2)) в это же число раз должно увеличиться и сечение столкновений σ и, как следствие, количество вакансий, создаваемых непосредственно протоном. Согласно данным, приведенным в третьей графе,

Таблица 3. Количество смещений, созданных в пленке SiC ($\rho = 3.21 \text{ г}/\text{см}^3$, $E_d(\text{Si}) = 24 \text{ эВ}$, $E_d(\text{C}) = 18 \text{ эВ}$) толщиной 50 мкм в первичных и вторичных столкновениях, в расчете на один протон

E_p , МэВ	Подрешетка	Вакансии, созданные протоном при образовании первично выбитых атомов	Вакансии, образованные в каскаде первично выбитых атомов	Сумма вакансий в подрешетках
8	Si	0.52	1.44	1.96
	C	0.30	1.75	2.05
15	Si	0.27	0.69	0.96
	C	0.15	0.84	0.99

эта закономерность хорошо прослеживается для атомов обеих подрешеток. Этот вывод используем позже, сравнивая расчетные результаты с экспериментальными данными, полученными при промежуточных значениях энергии (от 8 до 15 МэВ).

Другая характеристика резерфордовского закона – зависимость $\sigma \propto Z^2/(AE_d)$ – очень хорошо просматривается в количестве рассеяний протона, например, на атомах Ga и O (табл. 1–3, графы 3). Согласно этой зависимости количество вакансий $\eta_{\text{ПВА}}$ (ПВА – первично выбитые атомы), созданных непосредственно протонами в подрешетке галлия ($\eta_{\text{ПВА}} = \sigma_d N$), в 2.5 раза больше, чем в подрешетке кислорода, несмотря на то, что концентрация N атомов кислорода в оксидах галлия больше концентрации атомов галлия в 1.5 раза (5.67×10^{22} и $3.78 \times 10^{22} \text{ см}^{-3}$ соответственно).

Однако в каскадном процессе количество создаваемых вакансий в обеих подрешетках примерно одинаково. Часто используемые в литературе так называемые коэффициенты размножения (v), равные отношению полного количества

вакансий (или пар Френкеля) η_{FP} к количеству вакансий, образованных первично выбитыми атомами $\eta_{\text{ПВА}}$, составляют в случае Ga_2O_3 для подрешетки кислорода 8.5, для галлия 4.0.

При протонном облучении доля вакансий, созданных непосредственно протонами, составляет 12% для подрешетки кислорода. Остальные 88% создаются атомами отдачи в каскадных процессах. Для подрешетки кремния эти цифры составляют 25 и 75% соответственно. Полное количество вводимых вакансий на один протон составляет для Ga_2O_3 3.33, для GaN 9.54, для SiC 1.95. Эти цифры могут косвенно говорить о будущей радиационной стойкости приборов на основе трех рассматриваемых широкозонных полупроводников по отношению к протонному облучению. Более точная оценка возможна после установления для каждого полупроводника реального вторичного дефектообразования в каждой подрешетке. На рис. 2 представлена зависимость количества вакансий, создаваемых в первичных и вторичных процессах, от энергии протонов.

СРАВНЕНИЕ С ЭКСПЕРИМЕНТОМ

Как известно, введение радиационных дефектов в широкозонный полупроводник создает глубокие уровни, приводящие к уменьшению концентрации электронов в зоне проводимости (для n -типа) и компенсации проводимости материала. Табл. 1–3 показывают, что процессы компенсации проводимости всех трех полупроводников будут определяться глубокими центрами, созданными не первично выбитыми атомами, а атомами отдачи, образовавшихся в каскадах смещений. Для сравнения будем использовать экспериментальные данные, полученные для разных полупроводников единным способом – измерением электрофизических (гальванических или емкостных) свойств барьера Шоттки [21–24]. В этих работах на основе стандартной формулы рассчитывали скорость удаления носителей заряда η_e :

$$\eta_e = (n_0 - n)/D, \quad (3)$$

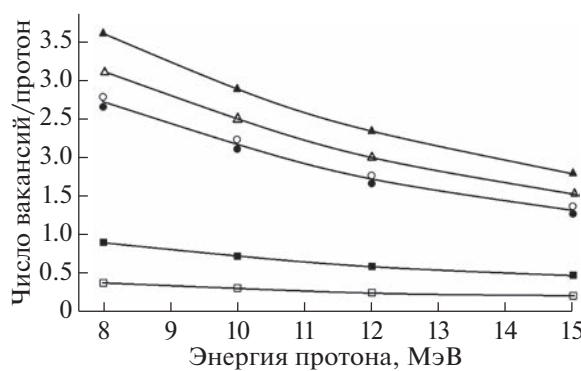


Рис. 2. Зависимость количества смещений, создаваемых в первичных (квадраты) и вторичных (кружки) процессах, в пленке Ga_2O_3 , в расчете на один протон от энергии протонов: сплошные символы – смещения в подрешетке галлия; пустые символы – смещения в подрешетке кислорода. Расчет по программе SRIM [7] в случае облучения образцов Ga_2O_3 толщиной 50 мкм. Треугольниками обозначены суммы вакансий, создаваемых в подрешетках в обоих процессах.

где n_0 и n – концентрации носителей заряда в полупроводнике до и после облучения соответственно, D – доза облучения.

В настоящей работе были использованы протоны с энергией 8 МэВ при облучении нитрида галлия и карбида кремния. В [1, 21, 22] те же полупроводники облучали протонами с энергией 15 МэВ. Для оксида галлия были использованы данные всего двух существующих работ [23, 24], в которых проводили облучение протонами с энергией 10 МэВ. Данные суммированы в табл. 4.

Начнем сравнение с наиболее изученного за сорок лет широкозонного полупроводника – с карбида кремния. Как видно из табл. 4, при облучении протонами с энергией 15 МэВ η_e составляет $50–60 \text{ см}^{-1}$, в то время как η_{FP} в подрешетке углерода составляет 198 см^{-1} . Значит, от 25 до 30% пар Френкеля в подрешетке углерода избегает рекомбинации. Близкие цифры получаются и в случае облучения карбида кремния протонами с энергией 8 МэВ.

Более сложная ситуация складывается для полупроводника со всего лишь двадцатилетней историей – нитрида галлия. Данные, полученные и в настоящей работе, и в [21, 22] (табл. 4), показывают, что скорость удаления носителей заряда примерно в четыре раза меньше, чем скорость образования радиационных дефектов в подрешетке галлия. Если справедлива гипотеза, высказанная в [15], о преобладающей роли именно этой подрешетки, то разделяются также примерно 25% пар Френкеля, образовавшихся в подрешетке галлия. Отметим, что проведенные в [21, 22] эксперименты выполнены на слоях нитрида галлия, выращенных методом хлоридно-гидридной газофазной эпитаксии. Для слоев GaN, выращенных различными методами, в литературе приводятся различные значения параметра η_e . Так, при одинаковой энергии протонов (например, 1 МэВ) можно встретить в литературе значения η_e от 440 до 3880 см^{-1} [25, 26].

Наконец, обратимся к последнему, самому молодому из рассматриваемых широкозонных полупроводников – оксиду галлия. Эксперименты по определению η_e были выполнены только в последние пять лет [23, 24]. Полученные значения η_e составили 235.7 [23] и $\sim 400 \text{ см}^{-1}$ [24]. Расчетные значения η_{FP} в случае облучения оксида галлия протонами с энергией 10 МэВ составляют 575 см^{-1} для подрешетки галлия и 480 см^{-1} для подрешетки кислорода (табл. 2). Если предполагать участие радиационных дефектов обеих подрешеток в компенсации проводимости Ga_2O_3 , то степень диссоциации пар Френкеля будет от 25 до 40%.

Сравнивая экспериментальные значения параметра η_e для трех анализируемых полупровод-

Таблица 4. Сравнение расчетных скоростей образования пар Френкеля η_{FP} и экспериментальных скоростей удаления носителей заряда η_e в трех широкозонных полупроводниковых при облучении протонами с энергией несколько МэВ

E_p , МэВ	Подрешетка	η_{FP} , см^{-1}
Оксид галлия		
10	Ga	575
	O	480
	η_e , см^{-1}	235.7 [23] 400 [24]
Нитрид галлия		
8	Ga	1058
	N	1438
	η_e , см^{-1}	235–260
Нитрид галлия		
15	Ga	564
	N	1344
	η_e , см^{-1}	130–145 [21, 22]
Карбид кремния		
8	Si	392
	C	410
	η_e , см^{-1}	110–130
Карбид кремния		
15	Si	192
	C	198
	η_e , см^{-1}	50–60 [1]

ников, можно сказать, что количество радиационных дефектов, создаваемых при протонном облучении в оксиде и нитриде галлия, достаточно близкое; однако это количество примерно вдвое превышает количество радиационных дефектов в карбиде кремния.

ЗАКЛЮЧЕНИЕ

Впервые с помощью математического моделирования рассчитано количество смещений, создаваемых не только первично выбитыми атомами, но и атомами отдачи, генерируемыми в каскадах смещений в двух широкозонных полупроводниках на основе галлия – оксида галлия (Ga_2O_3) и нитрида галлия (GaN) при рассеянии протонов с энергией 8 и 15 МэВ.

В ходе проведенных исследований было установлено, что полное количество вводимых вакан-

сий на один протон составляет для Ga_2O_3 3.33, для GaN 9.54, для SiC 1.95. Эти цифры могут лишь косвенно говорить о радиационной стойкости приборов на основе трех рассматриваемых широкозонных полупроводников по отношению к протонному облучению. Более точная оценка возможна после установления для каждого полупроводника реального вторичного радиационного дефектообразования в каждой подрешетке [27, 28]. Показано, что при протонном облучении доля вакансий, созданных непосредственно протонами, во всех подрешетках не превышает 25%. Остальные 75% создаются атомами отдачи в каскадных процессах. Поэтому процессы компенсации проводимости галлиевых широкозонных полупроводников, наблюдаемые при протонном облучении, будут определяться глубокими центрами, созданными не первично выбитыми атомами, а атомами отдачи, образовавшихся в каскадах смещений. Проведено сравнение расчетных и экспериментальных данных, на основе которого установлено, что доля пар Френкеля, диссоциирующих на отдельные компоненты, составляет от 25 до 40%.

БЛАГОДАРНОСТИ

Работа выполнена при поддержке РНФ (проект № 22-12-00003).

КОНФЛИКТ ИНТЕРЕСОВ

Авторы заявляют, что у них нет конфликта интересов.

СПИСОК ЛИТЕРАТУРЫ

1. Kozlovski V., Abrosimova V. Radiation Defect Engineering. Selected Topics in Electronics and Systems V. 37. Singapore: World Scientific, 2005. 264 p.
2. Claeys C., Simoen E. Radiation Effects in Advanced Semiconductor Materials and Devices. Berlin: Springer-Verlag, 2002. 401 p.
3. Strokan N.B., Ivanov A.M., Savkina N.S. et al. // Semiconductors. 2004. V. 38. P. 807.
4. Van Lint V.A.J. Mechanisms of Radiation Effects in Electronic Materials. John Wiley & Sons, 1980.
5. Козловский В.В., Васильев А.Э., Лебедев А.А. // Поверхность. Рентген., синхротр. и нейtron. исслед. 2016. № 7. С. 19.
6. Козловский В.В., Васильев А.Э., Карасев П.А., Лебедев А.А. // Физика и техника полупроводников. 2018. Т. 52. № 3. С. 327.
7. SRIM-2013 Software Package. <http://www.srim.org> https://doi.org/10.1007/978-1-4615-8103-1_3
8. Ziegler J.F., Biersack J.P., Littmark U. The Stopping and Range of Ions in Matter. New York: Pergamon, 1985.
9. Steeds J.W., Carosella F., Evans G.A. et al. // Mater. Sci. Forum. 2001. V. 353–356. P. 381.
10. Steeds J.W., Evans G.A., Furkert S. et al. // Diamond Related Mater. 2002. V. 11. P. 1923.
11. Lebedev A.A. Radiation Effects in Silicon Carbide // Materials Research Forum LLC, Millersville, USA, 2017. V. 6. PA 17551.
12. Pons D., Bourgoain J.C. // J. Phys. C. 1985. V. 18. P. 3839.
13. Barry A.L., Maxseiner R., Wojcik R. et al. // IEEE Trans. Nucl. Sci. 1990. V. 37. № 6. P. 1726.
14. Look D.C., Reynolds D.C., Hemsley J.W. et al. // Phys. Rev. Lett. 1997. V. 79. P. 2273.
15. Ionascut-Nedelcescu A., Caralone C., Houdayer A., von Bardeleben H.J., Cantin J.-L., Raymond S. // IEEE Trans. Nucl. Sci. 2002. V. 49. P. 2733.
16. Emtsev V.V., Davydov V.Yu., Emtsev K.V., Poloskin D.S., Oganesyan G.A., Kozlovski V.V., Haller E.E. // Phys. Stat. Sol. C. 2003. № 2. P. 601.
17. Pearton S.J., Ren F., Patrick E., Law M.E., Polyakov A.Y. // ECS J. Solid State Sci. Technol. 2016. V. 5. P. Q35.
18. Bardeleben H.J., Zhou S., Gerstmann U. et al. // APL Mater. 2019. V. 7. P. 022521.
19. Kim J., Pearton S.J., Fares C. et al. // J. Mater. Chem. C. 2019. V. 7. P. 10.
20. Farzana E., Chaiken M.F., Blue T.E. et al. // APL Mater. 2019. V. 7. P. 022502.
21. Лебедев А.А., Белов С.В., Мынбаева М.Г. и др. // Физика и техника полупроводников. 2015. Т. 49. Вып. 10. С. 1386.
22. Lebedev A.A., Belov S.V., Mynbayeva M.G. et al. // Mater. Sci. Forum. 2016. V. 858. P. 1186.
23. Yang J., Chen Z., Ren F. et al. // J. Vac. Sci. Technol. B. 2018. V. 36. № 1. P. 011206.
24. Polyakov A.Y., Smirnov N.B., Shchemberov I.V. et al. // Appl. Phys. Lett. 2018. V. 113. P. 092102.
25. Karmarkar A.P., White B.D., Buttari D., Fleetwood D.M., Schrimpf R.D., Weller R.A., Brillson L.J., Mishra U.K. // IEEE Trans. Nucl. Sci. 2005. V. 52. P. 2239.
26. Auret F.D., Goodman S.A., Hayes M., Legodi M.J., Hullavarad S.S., Friedland E., Beaumont B., Gibart P. // Nucl. Instrum. Methods Phys. Res. B. 2001. V. 175–177. P. 292.
27. Козловский В.В., Васильев А.Э., Емцев В.В., Оганесян Г.А., Лебедев А.А. // Поверхность. Рентген., синхротр. и нейтрон. исслед. 2019. № 12. С. 20.
28. Pearton S.J., Ren F., Mastro M. Gallium Oxide. Technology, Devices and Applications. Elsevier, 2019.

Formation of Radiation Defects in Wide-Band Semiconductors Based on Gallium (Ga_2O_3 , GaN) under Proton Irradiation

V. V. Kozlovski¹, *, A. E. Vasil'ev¹, **, A. A. Lebedev², ***, E. E. Zhurkin¹, ****,
M. E. Levinstein², *****, A. M. Strelchuk², *****

¹*Peter the Great St. Petersburg Polytechnic University, St. Petersburg, 195251 Russia*

²*Ioffe Institute, St. Petersburg, 194021 Russia*

*e-mail: kozlovski@physics.spbstu.ru

**e-mail: electronych@mail.ru

***e-mail: shura.lebe@mail.ioffe.ru

****e-mail: ezhurkin@phmf.spbstu.ru

*****e-mail: melev@nimis.ioffe.ru

*****e-mail: anatoly.strelchuk@mail.ioffe.ru

Using mathematical modeling of the displacement cascade in two wide-gap semiconductors based on gallium, gallium oxide (Ga_2O_3) and gallium nitride (GaN), the features of the generation of Frenkel pairs during the scattering of protons with energies of 8 and 15 MeV are considered. The number of displacements created not only by primary knocked-on atoms, but also by recoil atoms generated in displacement cascades is calculated for the first time. Calculations have shown that under proton irradiation of Ga_2O_3 , for example, the fraction of vacancies in the oxygen sublattice created directly by protons is only 12%. The remaining 88% are created by recoil atoms in cascade processes. For the gallium sublattice, these fractions are 25 and 75%, respectively. Therefore, the processes of compensating the conductivity of GaN and Ga_2O_3 observed under proton irradiation will be determined by deep centers created not by primary knocked-on atoms, but by recoil atoms formed in displacement cascades. A comparison with experimental data is made, and the fraction of Frenkel pairs dissociating during irradiation is estimated.

Keywords: proton irradiation, gallium oxide, gallium nitride, radiation defects, numerical simulation, cascade processes, Frenkel pair.